

直流電輸文集

第一集

科学出版社

直 流 输 电 译 文 集

第一集

安世明 林良真 譯

科 学 出 版 社

譯者前言

随着我国社会主义事业日益飞跃地发展，作为先行者的电力工业也以惊人的步伐向前猛进。由于许多大型电站的建立，相应地也出现许多高压远距离输电线，并且逐渐联成强大的动力系统。随着输送容量和距离的增加，交流输电中的稳定问题就成为一个尖锐的、急待解决的问题。世界各国许多科学家和工程师在这方面花费了巨大的劳动，提出了许多解决这一问题的办法。但是，由于交流输电本身的缺陷，这些措施都不可能完全彻底地解决稳定问题，而且在采用这些措施时不可避免地要增加输电线的投资。因此，人们便企图用直流输电代替交流输电以彻底解决稳定问题。实际上由于直流输电没有象交流输电那样存在稳定问题，而且在输电线投资方面比交流便宜，因此这方面它是具有很大的优越性。

但是在采用直流输电时也遇到一些困难，最突出的是换流问题。因此研究和制造出可靠、简单、经济的换流阀及其控制是一个很有意义的工作。

苏联在直流输电方面进行了大量的研究工作，根据在卡噶拉-莫斯科直流输电试验线路上的实验，积累了相当丰富的经验，这对我们来讲是十分宝贵的。中国有着广阔的土地，丰富的水利资源，因此直流输电在我国会有很大发展前途的。目前我们在方面的研究工作还未开展起来，介绍这方面的中文资料也很少，为此我们从苏联电站部直流研究所 Н. Н. Щедрин 教授主编的“交直流输电”（Передача энергии постоянным и переменным током）论文集前五集中，选译部分有关直流输电的论文，以供对这方面研究参考。本书主要介绍苏联在直流工业试验线路及直流模型上对阀及直流输电运行、控制进行研究的成果，此外也介绍了在这方面的一些理论研究。由于我们水平有限，错误之处在所难免，尚希接触到本书的同志们提出指正。

目 录

譯者前言	iii	
高压水銀整流閥電氣強度的研究		
..... Д. Д. 阿列克山大洛夫, Н. Ф. 奧琳結斯卡雅, С. В. 普吉琴	1	
阴极輝點的介質引燃極	И. П. 帕諾夫	12
工作閥中水銀凝液的形成	В. В. 馬恰協維奇	20
当作用电压波形畸变时油浸紙質电容器的离化特性	А. К. 哥爾契克	29
高压水銀整流閥分組式阳极結点的电压分布研究		
..... В. А. 都鄂吉赫, Н. И. 拉富罗夫	49	
卡唏拉-莫斯科直流輸电換流站設備的自身参数		
..... М. Г. 雪核特曼, Н. А. 綏甫林娜	63	
在直流輸电架空線路上电压振盪的阻尼	Н. Д. 列蘇科夫	75
卡唏拉-莫斯科直流輸电線的柵极控制系統	В. И. 希梁也夫	89
直流輸电分路裝置工作的研究	Б. С. 緬林克-沙爾基受夫	101
当同步电机連接在整流器上工作时的电磁功率	М. Г. 雪核特曼	113
換流站与結構簡單的并具有无功功率补偿的受端电力系統的并联运行		
..... В. М. 柯維亞特克夫斯基	121	
利用直流輸电来提高混合式交流輸电的稳定性	Г. И. 波諒克	158
联接有直流輸电線路的电力系統的正常状态和靜态稳定的計算		
..... Г. И. 波諒克	166	
具有并聯式中間变电所的直流輸电的調節系統及其工作条件		
..... Е. М. 別爾林, М. Г. 查瓦里娜, Н. А. 綏甫林娜	180	
在各种不同的无功补偿方式下逆換流电路过渡过程		
..... В. М. 克夫亞特科夫斯基	190	
直流輸电整流站閉鎖過程的研究	В. В. 脫尔馬索夫	204
长距离电纜線路絕緣故障点的判定		
..... А. К. 曼恩, А. В. 米隆諾夫, Н. Ф. 列米娜	212	

在不同气象条件下直流架空线路绝缘子的漏泄.....	
.....	A. M. 拉夫鲁欣, B. M. 梁伯夫, H. K. 尼哥尔斯基 223
直流输电保护及调节装置的测量元件中电磁过程的分析.....	E. M. 别尔林 227
当逆换流器的三相桥式电路电源为由二个单相变压器绕组接成“开路三角形”时的工作状态.....	A. M. 皮错夫, Ю. С. 克拉依契克 239
水银整流阀阳极温度测量仪.....	E. A. 利曼諾夫, A. M. 福尔曼 252

高压水銀整流閥電氣強度的研究

Д. Д. 阿列克山大洛夫 Н. Ф. 奧琳結斯卡雅 С. В. 普吉琴

引　　言

在用于直流輸电的高压整流閥中，不导电周期的高电气强度以及导电周期通过大电流的可能应均匀地配合。此外，整流閥是在动力系統中以換向元件形式而出現的高压动力設備，故当正常运行方式破坏时，应当允許承受在直流輸电线和动力系統中所产生的高值电流和电压。

对于卡唏拉-莫斯科試驗線和所設計中的斯大林格勒-頓巴斯直流輸电线的高压整流閥而言，加于阳极与阴极間的电压最大值約为 100 千伏。这一电压对于試驗線路而言，在某些运行情况下可达 130 千伏，而当正常运行破坏时，在結線中所产生的操作过电压的幅值定为 260 千伏。

为了簡化直流輸电变电所的換流裝置，最好能进一步增大阳极电压的允許值。离子仪器中电极間的高值电压要求能解决相适应的結構。但对于电极本身和圍繞电极的气体中所产生的物理过程沒有清楚的概念，以及对这一过程中所发生的一些規律沒有了解，则不可能正确地解决这一問題。

文献中所提出的一些研究也还不是針對在类似高压整流閥中所具有的条件下进行的，所以就不可能直接地加以利用。局外气体的混合物对于基本的水銀蒸气在高压整流閥电气强度方面的影响迄今仍是研究得很少。在直流研究所研究出这种所謂循环压力表的結構之前，要想估計基本水銀蒸气中局外气体混合物的真正含量实际上是不可能的。

在高压整流閥的实际运行当中，曾找到了一种用所謂“靜態試驗”的方法来检查整流閥的电气强度。不論是对于新制成的、或是检修完了的以及經過化成的和輸电线上运行的整流閥都要作靜態試驗。

开始靜態試驗是在阳极与上部柵极之間均匀地加以直流高压——先从一个方向加压，而后改換方向。

試驗是在把所有輔助电极与上部柵极和大地相短接的情况下进行的。阳极与上

部柵極間發生擊穿的情況通過陰極示波器拍攝下來。以後，由於用直流作試驗沒有顯著的優點，以及考慮到交流高壓電源比較簡單，所以靜態試驗又改用交流電壓進行。

截至目前為止，認為可以承受電壓最大值為 210 千伏（有效值為 150 千伏），而不發生擊穿的整流閥就算做是性能良好的，這一電壓最大值很少超過 230 千伏。雖然目前是採用了這一試驗電壓值，而當其在輸電線上工作的實際運行中却常常發生反燃弧或直接擊穿的情況。同樣也觀察到在不導電的週期內整流閥的靜態強度有所降低的現象。也很常見這樣的情況，即雖然採取了全部所熟悉的措施之後，仍不能達到所必需的靜態強度水平。

目前在整流閥上還沒有能夠測量局外氣體壓力的氣壓表，以及對水銀泵進行試驗的方法還不完善，故可認為由於整流閥真空狀態的劣化使其電氣強度降低。實際上時有發現這種情況，當簡單地拆換整流閥的水銀泵時其電氣強度便達到額定值。這一現象就迫使人們來改善水銀泵的結構、加工工藝以及試驗方法。此外用最大值為 170 千伏的電壓對陽極屏蔽絕緣子在真空中進行了預試驗。

所列舉的各項措施以及一系列其他加工工藝的改善和整流閥準備狀態的檢查方法，例如在氯氣化成過程中整流閥排出氣體分析器的研究，在目前都不能保證可以得到高靜態強度的並在運行過程中加以保持的準確結果。

本文中所引証的全部研究是在試驗線路的整流閥上進行的，所以這些結果可以直接用于整流閥的研究。

1. 試 驗 条 件

進行試驗的整流閥陽極-柵極環節如圖 1 和圖 2 所示。陽極、屏蔽及柵極的材料是優質低碳鋼，絕緣子是瓷的。圖上所未表示的整流閥下部是由金屬罐構成。水銀陰極位於罐的底部，在第一個閥上（圖 1）橫向屏蔽具有經絕緣子向外的出線。

在整流閥正常工作時，陽極與屏蔽區域內的水銀蒸氣壓不超過 1×10^{-3} 毫米水銀柱。而在靜態試驗時，整流閥內各點壓力都與此相同。混合氣體的壓力等於 5×10^{-6} 毫米水銀柱，它相當於在連續排氣時水銀蒸氣泵所能保證的極限真空度。壓力一般是通過由水銀蒸氣泵、ЛТ-4 型熱電偶管，以及毛細管相串聯的閉合系統而形成的循環壓力表來測量的（文獻[1]）。

在正常的真空處理之後來進行整流閥的試驗。這種處理是包含着以下幾個步驟，即排氣一般加熱，在整流閥內連續通有保持 3×10^{-3} 毫米水銀柱壓力的氯氣條件下電流化成以及在正常工作狀態下高壓化成。此外，這兩台被試整流閥在氯氣的

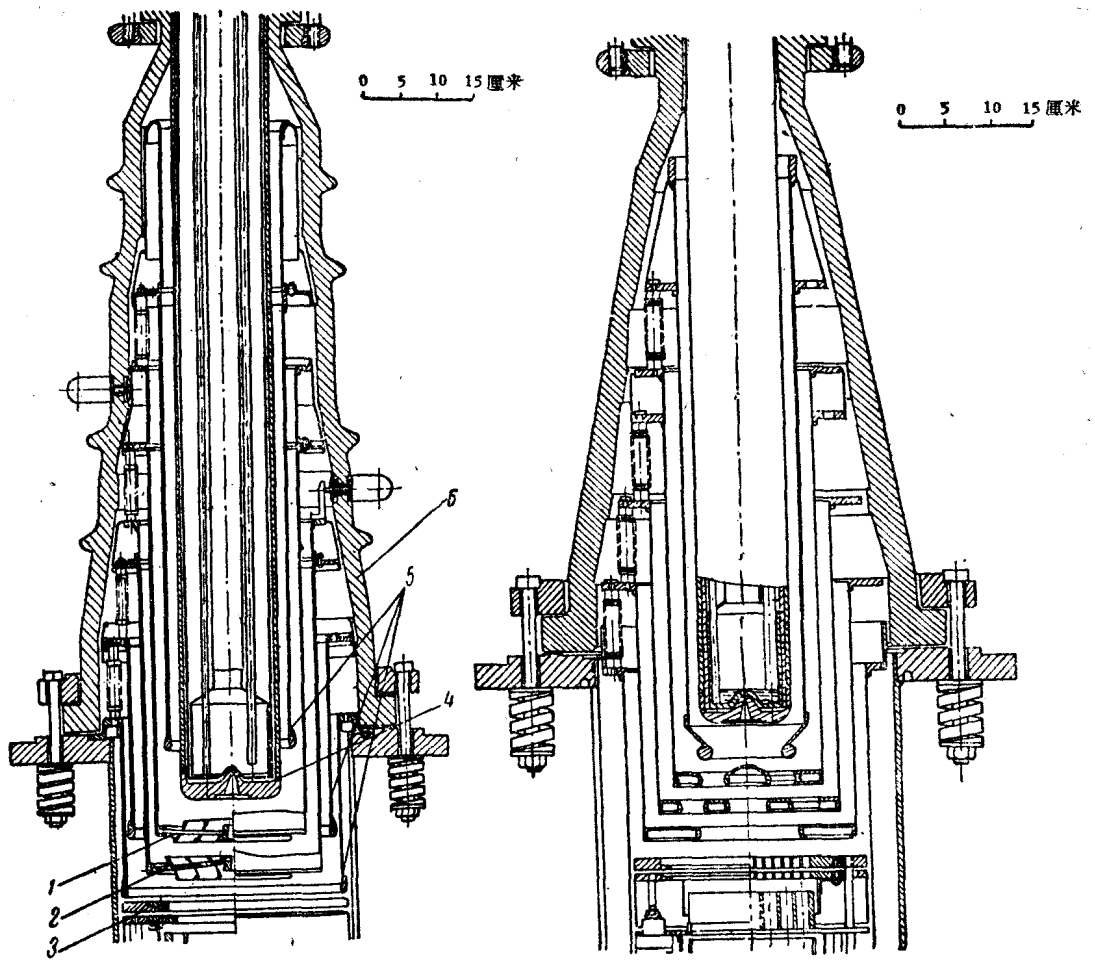


图1 第一个被試整流閘阳极环节的总图

1,2—第一和第二横向屏蔽; 3—栅极; 4—阳极;
5—侧屏蔽; 6—绝缘子.

图2 第二个被試整流閘阳极环节图

輝光放电条件下进行了电极的补充試驗。又考慮到液体水銀的温度有所变化,故在整流閘中也改变了水銀蒸气的温度。

所采用的电炉加热和氢冷却系統有可能把阴极和外壳的温度从 10° 变化到 40°C . 这时阳极环节和绝缘子的温度永远高出 10° — 20° , 这就防止了水銀蒸气的凝結。水銀蒸气压力根据其液态温度来决定,并根据下一关系換算到零温度

$$P_0 = P \frac{273}{T}$$

其中 T 为間隙的絕對温度。

經整流閘絕緣子的上法兰閥門可以填充不同的气体。当气体压力大于 1×10^{-3}

毫米水銀柱時，整流閥的真空閂門關閉，而水銀泵停止工作。當採用空氣及其他氣體時，由冷卻陰極和外殼的溫度所確定的水銀蒸氣壓總保持在 1×10^{-3} — 0.5×10^{-3} 毫米水銀柱的水平，即大約與正常工作狀態相同。

整流閥電氣強度的試驗是用直流電壓、脈動電壓以及交流電壓當限流電阻為 1 兆歐時進行的。由倍壓線路所形成的電源可進行相應的切換，以便得到直流電壓和 50 周的脈動電壓。直流電壓與額定 400 千伏相比，其脈動不超過 0.05%，這一電壓可用接於變壓器一次側的並事先根據球直徑為 50 厘米的球形放電間隙所刻度的電壓表測出。電壓加於陽極與整流閥上部柵極之間。由絕緣子所分開的中間極——屏蔽則處於“飄浮”電位的情況下。

由於不可能通過視覺觀察到整流閥產生放電的瞬間，故在直流和脈動電壓下擊穿的開始是根據接於整流閥陽極迴路的微安表電流的急驟增長情況來確定。為保護整流閥，故採用了標準的 PA-350 型放電間隙、分流裝置以及當電流增加到危險值而投入與其相串聯的電阻。

在交流電壓以及脈動電壓的試驗時，從加於整流閥的電壓示波曲線上所得到的相應畸變就可以確定。在交流電壓的情況下這是一種唯一可行的方法，因為整流閥具有很大的電容電流，這一電流不允許使用電流表來標記擊穿情況。

2. 測量結果

在兩台被試整流閥所得的大量測量結果中（圖 1 和 2），說明放電的點火電位 U_s 與氣體或水銀蒸氣的壓力 P 之典型關係，具有如圖 3 所示的形狀。所表出的曲線是當柵極-陽極間隙 ($d = 14$ 厘米) 在脈動電壓作用之下，第一台被測整流閥充以空氣的情況下得到的。對於水銀蒸氣所得之曲線與充空氣之曲線相同。為了比較起見在同一圖上標出了對於兩台被試整流閥充空氣和充水銀蒸氣時的各試驗點。曲線的一般的特性是可以重複不變的。同時，總可以看到有一段在 3×10^{-3} — 4×10^{-3} 毫米水銀柱之前， U_s 與氣體壓力無關的水平線段。對這一非常重要的現象，進行了多次的驗證。無論是快速或是慢速變化整流閥中氣體的壓力每一點都保持了幾個小時。在所有的情況下， U_s 的大小是非常穩定的。其逐點的變動不超過 5—10 千伏。曲線從水平線段向下轉變的開始，對不同氣體是不同的。對於水銀蒸氣和空氣而言，當整流閥中電極間的距離為 15 厘米時，這一轉變系在 3×10^{-3} — 4×10^{-3} 毫米水銀柱；對於氬氣則在 7×10^{-3} — 8×10^{-3} 毫米水銀柱；對於氦而言，是在 12×10^{-3} — 13×10^{-3} 毫米水銀柱。

在 U_s 與 P 無關的放電區域里，常常可以觀察到預擊穿電流的出現。這一電流的

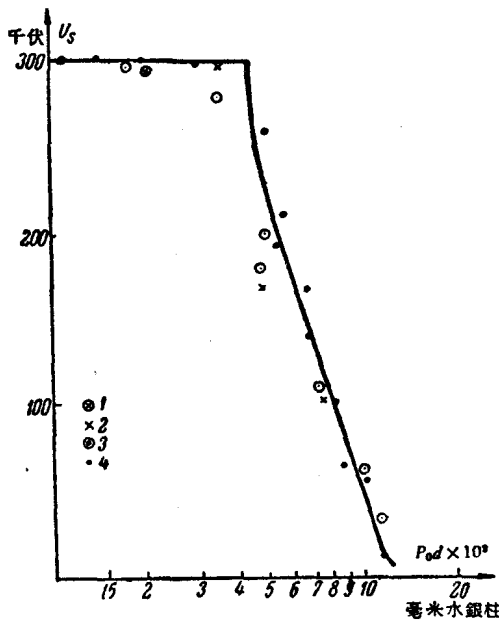


图3 空气和水銀蒸气的 U_s 与 P_0d 的关系
1 和 2, 各对应于在第一和第二被試整流閥中充
以水銀蒸气; 而 3 和 4 为对应于在第一和第二
被試整流閥中充以空气

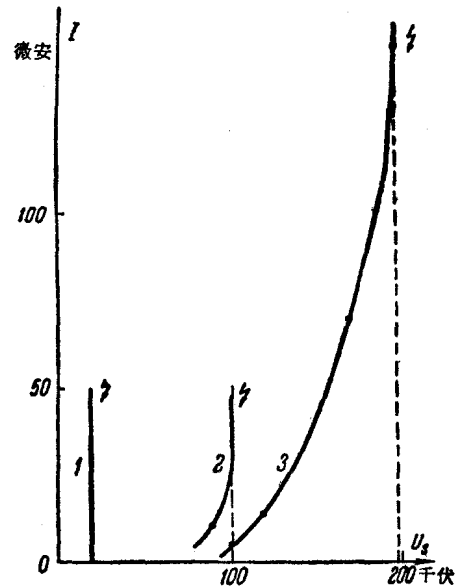


图4 空气的 I 与 U_s 的关系曲綫
1. $P_0 = 8 \times 10^{-3}$ 毫米水銀柱;
2. $P_0 = 6 \times 10^{-3}$ 毫米水銀柱;
3. $P_0 = 1 \times 10^{-3}$ 毫米水銀柱.

典型伏安特性如图 4 所示。

預擊穿电流的大小隨時間变化。每当下一次电压升高之后，电流都将緩慢上升。图4曲綫是在每一級都保持 5 分鐘的条件所获得的。在这一段时间內，一般說来电流是不再增长了。

在轉變到与压力有关的放电区域内时，預擊穿电流并非立即消失，但其特性发生变化。产生这一电流的电压几乎不变(曲綫 2)，但在数量上在击穿之前这一电流增长到某一較小的数值。例如代替 100—150 微安的是 20—40 微安。

进一步增加整流閥內气体或蒸气的压力預擊穿电流随电压均匀增长的情况便被破坏。而击穿电流的增长实际上是瞬时的，預擊穿电流乃消失。

当击穿时，加于整流閥的电压示波图在与压力有关的放电区内和在泊桑区内是不同的。在第一种情况下仅是个别的极短时的被加电压的正弦崩潰，而在第二种情况下正弦畸变乃是放电点燃的特点。

通过特殊的检验确定，在与压力无关的放电区内，以及在服从气体击穿規律的区域内，电极間的距离对击穿电压的影响不同。在第一个被試整流閥中(图 1)是看不到与 d 有关，如上所述，它具有两个带有向外出線端的横向屏蔽。图 5 和图 6 表

出当阳极与第一屏蔽、阳极与第二屏蔽以及阳极与栅极間有所加的电位差时 U_s 与 P 的关系。这里的 d 是对应于加有电压的电极間最短距离。在所有的情况下，屏蔽接地，而阳极加以正的脉动电压。

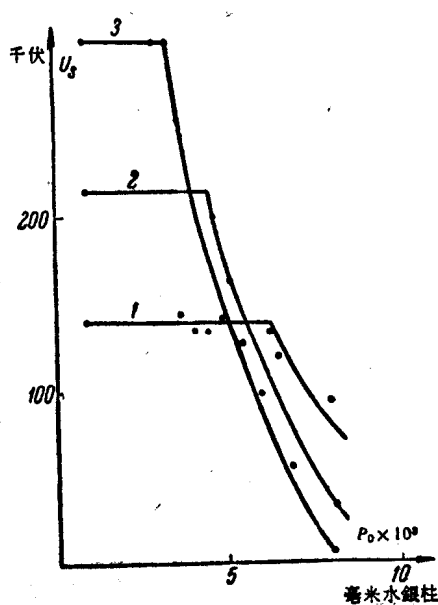


图 5 当阳极为正时，对于不同的 d 所得的 U_s 与 P_0 的关系
1. $d=3$ 厘米；2. $d=8$ 厘米；3. $d=14$ 厘米。

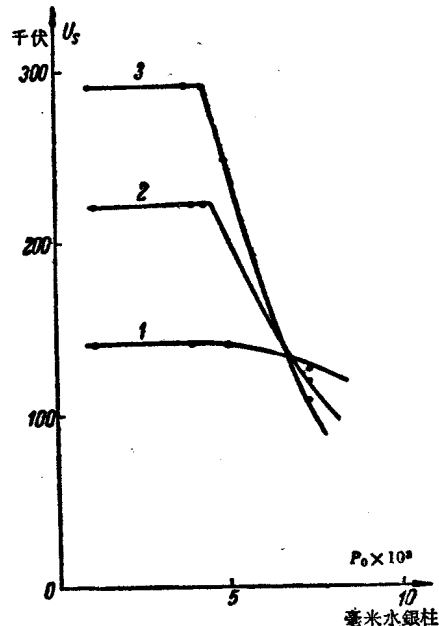


图 6 当阳极为正时，对于不同的 d 所得的 U_s 与 P_0 的关系
1. $d=3$ 厘米；2. $d=8$ 厘米；3. $d=14$ 厘米。

在与气压无关的放电区域中，极間距离的增加可以使电气强度与 \sqrt{d} 成比例地增长。在放电的产生系服从于气体击穿定律的压力区域中，較大的极間间隔对应于較大的 Pd 值，即 U_s 较小。当然根据阳极-第一屏蔽間距离为 3 厘米时所繪制的泊桑曲綫 $U_s(Pd)$ ，在这一区域中与在所有其他的阳极-栅极距离时所繪制的类似曲綫相比較是偏左的。这就說明，在泊桑放电时，阳极-第一屏蔽間的放电路径长度远远大于該电极間的最短距离。从間隔本身的結構講，还有可能得到更長的放电路径(图 1)。

放电向适应于 U_s 与 Pd 关系的泊桑区轉化，常常先引起某些中間放电区域，这可从图 6 明显地区分出来。图中表出当 U_s 与 P 的关系存在时，小距离的間隙尚可承受的最小击穿电压，从曲綫水平段向下轉化各点的位置和轉化区域的分布情况与电极表面状态大有关系。曲綫 6 是当电极經過在氮气中用輝光放电法加以补充处理之后所得到的。

在我們这种条件下所产生的泊桑曲綫之过程，与气体种类有关。我們从几台整

流閥上当柵极-阳极距离为 15 厘米时施以脉动电压取得了一些对于水銀蒸气、空气、氩气和氮气的 U_s 与 P_d 的曲線。空气、氩气、氮气击穿电压的測量是当殘留有一部分水銀蒸气，其压力在 0.5×10^{-3} — 1×10^{-3} 毫米水銀柱的情况下进行的。曾經检验过在所研究的气体同一压力范围之内，水銀蒸气的压力，从 0.3×10^{-3} 变化到 1.5×10^{-3} 毫米水銀柱时是絲毫不影响不同压力下的空气、氩气、和氮气的击穿电压。測量結果示于图 7，其中也列舉出由其他人对这类气体所得到的数据。

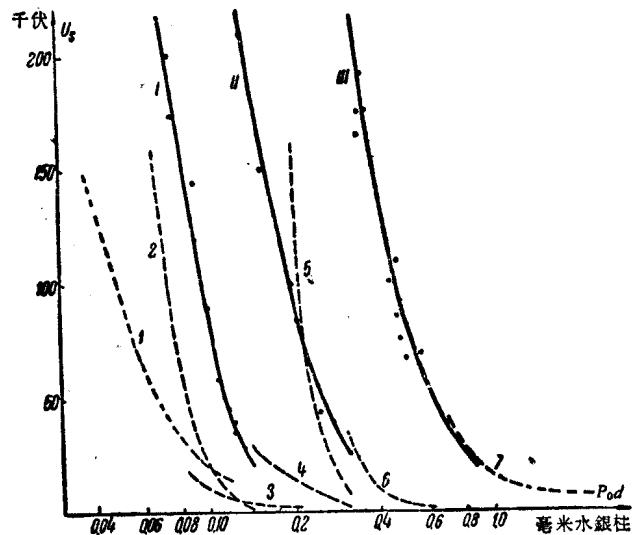


图 7 U_s 与 P_d 的关系

- I. 1—水銀蒸气，根据科諒爾費爾德和古协娃的数据(文献[12]);
- I. 2 和 3—空气，各对应于本文的数据和科諒爾費爾德及古协娃的数据(文献[11]), 以及謝爾文的数据(文献[8]);
- II. 4 和 5—氩气，各对应于本文的数据，科文的数据(文献[9]), 科諒爾費爾德与古协娃的数据(文献[11]);
- III. 6 和 7—氮气，各对应于本文的数据，科文的数据(文献[9]), 和科諒爾費爾德与古协娃的数据(文献[10]).

在研究加于整流閥电压的极性对 U_s 与 P 关系的影响时，曾发现当阳极电位为正或为负时其击穿电压常有所不同。例如，在第一台被試整流閥中，正电压比负电压具有較高的強度。而在第二台中，恰恰相反。一般說來，这与不同的电极光洁度有关，并且附加的或更长时间的处理是可以減少击穿电压的差別，甚至使这一差別消失。

但是也发生这样的情况，在服从于气体击穿的放电区域内，第一台整流閥阳极—第一横向屏蔽間不同极性的击穿电压在数量上有一固定的差值。在研究这一間隙时，第一屏蔽一般是与第二屏蔽短接的。例如在空气压力为 7×10^{-3} 毫米水銀柱时，阳极为正时的击穿电压为 115 千伏，而在负极性时，却很低 (70 千伏)。也曾发现，如

果第二屏蔽与第一屏蔽脱离，负极性时的击穿电压也等于 115 千伏。当阳极为正时即阴极与屏蔽連結时，割断与第二屏蔽的連系并不改变这一間隙的击穿电压。

在这一整流閥的另一間隙上也发现了类似的情况(柵极——第二屏蔽)。在这种情况下，加于已短接的屏蔽上的正电压与反极性电压相比同样也使击穿电压降低。

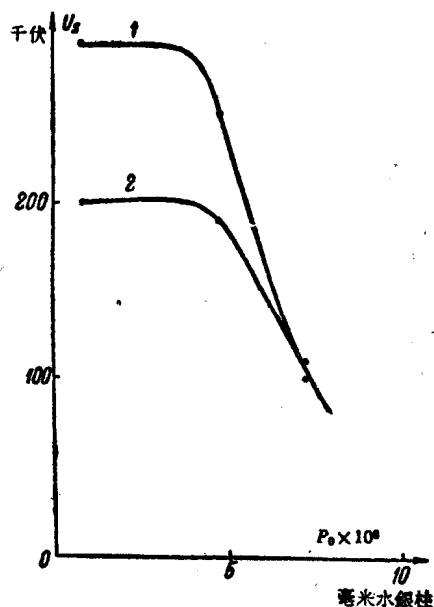


图 8 U_s 与 P_0 的关系曲綫
1—对于脉动电压；2—对于直流电压。

的 $U_s(P_0)$ 曲綫。

在直流电压情况下，在与压力无关的放电区域内 U_s 比之在脉动电压时約低 30%。

这里頗有意义的是，在純交流的情况下，有时击穿电压比脉动电压要低两倍。

3. 結果的討論

所进行的高压水銀整流閥电气强度的研究說明，整流閥中空气和水銀蒸气的压力从 3×10^{-3} — 4×10^{-3} 毫米水銀柱开始以及低于此数值时，便发生了所謂高真空击穿的一些特点。事实上，从上述的工作結果中可得結論，即在这一放电区域中，气体与水銀蒸气的压力及其本性并不影响击穿电压的数值。对不同的电极間距离所得到的 U_s 大小是服从于所熟悉的高真空击穿規律， $U_s = C \sqrt{d}$ 。誠然，在我們这种情况下，常数 C 等于 80—120 千伏/厘米 $^{1/2}$ ，即比文献 [2] 中所引用的数值要小很多。这可能是由于水銀蒸气对鋼电极表面发生某种作用有关。

与第一屏蔽相同，如果外屏蔽与内屏蔽割断連系时，并不发生击穿电压的降低。

在这种情况下，阳极正极性和负极性的击穿电压之差值，似乎只与向服从于气体击穿規律的区域沿較长路径而发展的放电可能性有关。但这只有在承受正极性的屏蔽之后，还有一个处于同一电位的屏蔽时才是可能的。当已联結起来的屏蔽位于負电位之下，只有接近于反极性电极的屏蔽参与放电，因为在此以后由于不存在电場，阴极上产生这一过程是比较困难的，而沒有这一过程就不可能发展自持放电。

业經証实，击穿电压的波形对击穿电压数值有影响。图 8 表明在第一台被試整流閥充以空气而阳极为正电压时，阳极-上部柵极

大家都知道，在小的极間距离情况下（十分之几个毫米）真空击穿是由于在一定的場強下从阴极产生靜电电子发射的結果。在电极間的距离較大而电位差亦較大时，当場強較小即可产生击穿。在这种情况下，微观电場尚不足以自动发射的缺陷，有可能由其局部的增强所补偿。产生这样局部增强的条件，就在于加于极間的电位差足够大。由于形成了从阳极飞来的微形質点，就有可能使得阴极电場增强（文献[3]）。电場的增强又促成了由阳极所发射的正离子层（文献[4]）。使发射增加的原因，可能是由于整个阳极材料受到撞击而产生的局部发热（文献[2]），或是由于形成区域电弧微放电的局部化的結果（文献[5]）。

綜合上述可得如下結論，在电极間有足够大的电位差时，高真空中的击穿乃是导致产生和成长自动或热发射的比較长期（与击穿比較）准备过程的必然結果。例如，在我們的實驗中，整流閥的高真空击穿的发展如上所述曾延續了十分之几秒，有时甚至长达数秒。如快速地去掉或減少所加的电压，则預击穿电流可以停止，从而不发生击穿。如上所述，在脉动电压下的 U ，总比直流电压下 U ，值高 50%。如果击穿的产生是与某种預击穿過程有关时，如靜电或热电发射电流增长到一固定数值有关，则对于击穿发展起决定作用的不单单是电压的幅值，而且也包括其有效值。在这时对于脉动电压而言，它約为幅值的 60%。

在交流电压作用下 U ，的数值甚至常常低于直流时的情况。一般看到的所加电压的波形对于整流閥电气强度的影响与伦琴射綫管的电气强度数据相同（文献[6]）。当半波整流时，伦琴射綫管在脉动电压下的強度大于直流和交流电压下的数值。

由于体积內的离化作用，当增加气体或水銀蒸气的压力时，击穿的发展可能会显著地加快。因此放电在性质上轉換到另外一个区域，在这一区域内击穿电压与气体的压力和气体的特性有关。因为击穿在本质上还与高真空中击穿发展的机构有联系，故在这区域里击穿电压常常不服从于泊桑定律。因此較小的极間距 d 却具有較小的 U ，（图 6）。然而压力的增加有助于击穿的发展，所以随着 P 的增长击穿电压有所下降。

当由于小 Pd 的击穿判据是 $Q\gamma = 1$ ，則在 γ 离子作用下的二次电子发射系数应当是比在相应的条件下从試驗所得的要大得多，故击穿电压仍有可能不服从于泊桑定律。按照文献[7]的数据 γ 值不超过 20，这时一个电子在間隔长度 Q 内所产生的平均离化次数，对在所指定的条件下可以很容易的計算出来，它远小于 0.05。

图 7 所表示的不同气体的泊桑曲綫与文献[8]和[9]相比是大大偏右，而且与最近文献中对氮（文献[10]）、空气及对氩（文献[11]）所求得的曲綫相一致。因此，尽管整流閥中的电場有某些不均匀，我們所得到的与空气曲綫相同的并与文献[12]相比

更偏右的水銀蒸氣曲線顯然應當被認為是更能反映其實際過程。大家都知道，最右側的泊桑曲線是對於一定氣體在更高的純度和更精確的電極工藝處理條件下所獲得的。

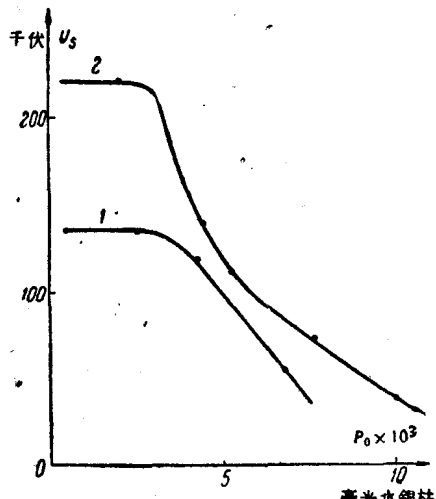


图9 在直流电压时 U_s 与 P_0 的关系曲綫
1—当用氮气辉光放电处理之前；
2—处理以后。

對整流閥的電極，在氮氣中輝光放電的條件下進行附加的處理，是可以大大提高整流閥的電氣強度並得到穩定的擊穿電壓數值。圖9表示出同一整流閥在處理前後的情況。

顯然，在整流閥的工藝過程中，根據相適應的分析，可以推薦類似的處理方案。全蘇電工研究所還得到了一些類似用惰性氣體輝光放電來淨化電極的研究結果。採用氖氣的輝光放電來加工電極時，真空儀器的強度同樣也能很有效地提高，這一問題在文獻[13]中有所介紹。

結 論

1. 高壓整流閥的靜態電氣強度取決於高真空中擊穿定律。如在已研究的結果中所確定，這一定律對於極間距離為15厘米，空氣壓力和水銀蒸氣壓力直到 3×10^{-3} — 4×10^{-3} 毫米水銀柱，並在相應的電極加工條件下可以保持。在這樣條件下，當增加極間距離時電氣強度有所增長。

2. 整流閥中局外氣體壓力比擴散泵所保證的數值增大兩級(1×10^{-5} 毫米水銀柱)時，對整流閥靜態電氣強度沒有直接影響。所加電壓的波形及其持續時間能影響高壓整流閥的擊穿電壓數值。50周的脈動電壓與直流電壓相比，可以使 U_s 提高50—60%。

3. 用氮氣輝光放電法加工整流閥的電極，可以被推薦作為提高其電氣強度的加工工藝措施。

參 考 文 獻

- [1] Д. Д. Александров и С. В. Птицын, Циркуляционный манометр, НИИПТ, сб. 1, 1957.
- [2] L. Cranberg, The initiation of electrical breakdown in vacuum, *J. Appl. Phys.*, **23**, 518, 1952.
- [3] F. Bertoin, Contribution à l'étude des décharges statistiques entre les électrodes sous vide poussé, C.

- R. Ac. Sci., Paris, 224, 65, 1946.
- [4] S. A. Chiles, Electrical breakdown in high vacuum, *J. Appl. Phys.*, **8**, 622, 1937.
- [5] R. Arnal, Les "microdecharges" électriques dans le vide dinamique, *An. de Phys.*, **10**, 830, 1955.
- [6] В. И. Раков, Электронные рентгеновские трубы, Госэнергоиздат, 1952.
- [7] H. C. Bourne, R. W. Cloud, J. G. Trump, Composition of interelectrode prebreakdown in high vacuum, *J. Appl. Phys.*, **26**, 625, 1955.
- [8] S. Cerwin, Sparking potentials of low pressures, *Phys. Rev.*, **46**, 1054, 1934.
- [9] R. Quinn, Sparking potentials of low pressures, *Phys. Rev.*, **55**, 482, 1939.
- [10] Б. Н. Клярфельд и А. Н. Дикиджи, Напряжение зажигания разряда в He, Na, Ar, Ki, Xe при низких давлениях, *ЖТФ*, **25**, 6, 1038, 1955.
- [11] Б. Н. Клярфельд и Л. Г. Гусеева, Напряжение зажигания разряда в различных газах, Труды ВЭИ, **63**, 19, 1957.
- [12] Б. Н. Клярфельд и Л. Г. Гусеева, Напряжение зажигания разряда в ртутных парах, *ЖТФ*, **24**, 7, 1169, 1954.
- [13] R. Arnal, Influence de l'état de surface sur les décharges électriques dans le vide. C. R. Ac. Sci., Paris, 242, 2308, 1956.

(译自“交直流输电”第3集)

阴极輝点的介質引燃极

И. П. 帕諾夫

引言

当研究提高高压閥工作电弧稳定性的方法时，曾認為（文献[1]）強制的重复引燃阴极輝点是一項措施。

強制重复引燃装置的初始方案（图1）系利用了半导体引燃极。这种型式引燃极的缺点，尤其是在大容量閥的条件下所出現的，是不能保證设备有足够的稳定性。

在整流閥短期工作之后，引燃极便汞齐化了，而其工作的精确性也被破坏，进而完全丧失引燃的作用。引燃极汞齐化（文献[2]）使得阴极水銀污秽起来，并造成引燃极表面产生高温，这就是在整流閥中所发生的情况。水銀的污秽是閥內电极分解的結果，而引燃极表面的高温則由強阴极輝点所造成。

半导体引燃极另一个缺陷是其消耗功率很大。因此在低电阻 R_2 工作时（图1），只好并入阴极电抗器。直流研究所对于工作电弧稳定性的研究，确定出阴极电抗器的大小对于自由重复引燃的可能性有本质的影响，而这种重复引燃正是关系着主电弧工作能否稳定的重要因素。由此看来用半导体引燃极的供电迴路与阴极电抗器相并列并不是很理想的，因为在这种条件下是降低了自由重复引燃的可能性。所以在阴极輝点消失之后欲使其恢复的問題，只有依靠于強制重复引燃迴路了。但由半导体引燃极并不十分可靠，所以这一問題还难以得到圓滿解决。自由重复引燃的可能性一发生降低就使工作电弧开始点燃得很不稳定。

由于半导体引燃极具有上述的缺陷，所以把它用于強制重复引燃的線路中是没有多大前途的。

由于有其他的一些无慣性激励阴极輝点的方法，所以对于強制引燃多利用介质